

На основе отмеченных результатов была выбрана следующая конструкция полевого варианта имитатора акустического излучения каскадных ливней в воде. Его основными составляющими являются излучающая акустическая антenna, источник высокого напряжения и блок управления разрядом емкости.

Акустическая антenna имитатора диаметром 4 см и длиной 3 м для удобства при транспортировке составлена из трех секций одинаковой длины. Вдоль оси каждой секции проходит экранированный провод, который затем заполняет цилиндрический объем секции слоями, диаметры которых равны 12, 20, 30 и 40 мм. Проводники каждого слоя параллельны осевому проводнику. В указанных слоях находится соответственно 4, 8, 12 и 16 проводников.

Высокое напряжение для заряда накопительной емкости обеспечивается преобразователем напряжения, выполненным по схеме самовозбуждающегося блокинг-генератора. Импульсы напряжения в повышающей обмотке трансформатора блокинг-генератора выпрямляются схемой учетверения. При напряжении питания 6,5 В преобразователь обеспечивает на накопительной емкости максимальное напряжение 1500 В. Разряд емкости через проводники антенны происходит при подаче на управляющие электроды тиристоров импульсов с блока управления.

Испытания имитатора были проведены в августе 1989 г. на платформе МГИ АН УССР в Черном море. Автономность источников электропитания позволяла совершать необходимые перемещения имитатора с помощью катера. Чувствительность к взаимному расположению антенны имитатора и гидрофонов приемного модуля, расположенного на глубине 10 м, определялась изменением глубины погружения антенны имитатора. Расстояние между ней и приемным модулем составляло примерно 30 м. При уменьшении глубины с 10 м (рис. 2, а) до 4 м (рис. 2, б) сигнал претерпевает незначительные изменения. Сигнал на рис. 2, в соответствует нахождению в воде только последней секции антенны.

Полученные результаты свидетельствуют о том, что рассмотренный имитатор может быть использован для контроля функционирования и настройки систем акустической регистрации каскадных ливней в естественных водоемах, а также в других гидрофизических исследованиях, где необходим протяженный источник акустических сигналов.

СПИСОК ЛИТЕРАТУРЫ

1. Голубничий П. И., Калужный Г. С., Яковлев В. И. Исследование механизма генерации акустического излучения, инициированного лазерным пучком в жидкостях: Препринт № 167. М.: ФИАН СССР, 1977.
2. Данильченко И. А., Лбов И. Е., Медведев А. Ю., Павленко А. В., Петрухин А. А., Толстой М. Ю., Шестаков В. В. Исследование характеристик акустического журнала в ближней зоне пучка протонов в воде // Радиационная акустика. М.: Наука, 1987. С. 51–58.
3. Hunter S. D., Jones W. V., Malbrough D. J. Acoustic Signals from an Extended Laser Beam Source // 16th Internat. Cosmic. Ray. Conf. V. 11. T Session Kyoto. 1979. P. 184–189.
4. Sulak L. R. et al. Experimental Studies of the Acoustic Signature of Proton Beams Traversing Fluid Medium // Nucl. Instrum. Meth. 1979. V. 161. № 2. P. 203–217.
5. Кудленко В. Г., Голубничий П. И. Об одном способе контроля измерительной аппаратуры акустического варианта проекта ДЮМАНД // Перспективы осуществления проекта ДЮМАНД в Тихом океане. Владивосток: ДВНЦ АН СССР, 1986. С. 47–48.

Ворошиловградский
машиностроительный институт

Поступило в редакцию
18.05.90

УДК 537.591

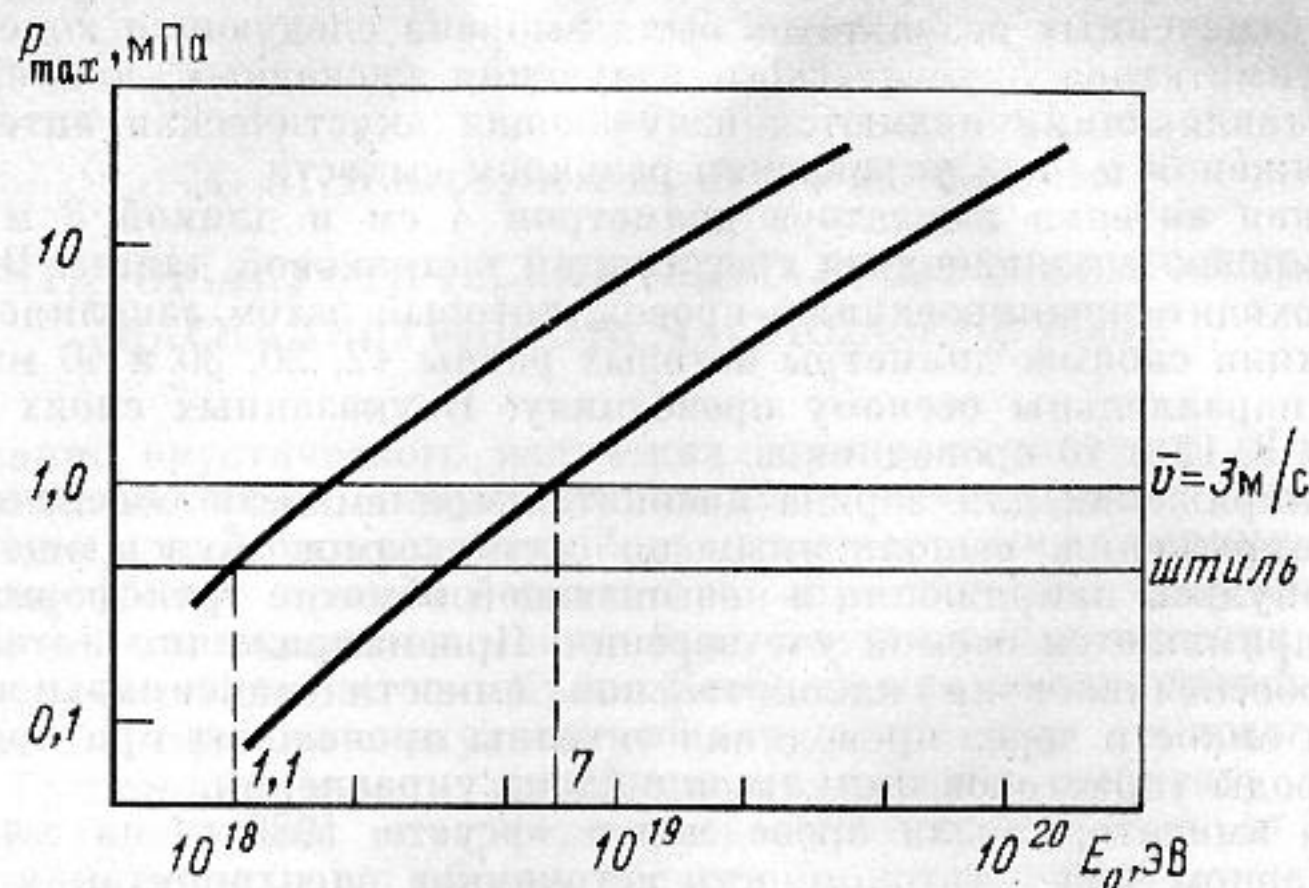
© 1990 г.

И. Е. Лбов, А. Ю. Медведев, А. В. Павленко,
А. А. Петрухин, В. В. Шестаков

ПРИМЕНЕНИЕ АКУСТИЧЕСКОГО МЕТОДА ДЛЯ РЕГИСТРАЦИИ СТВОЛОВ ШИРОКИХ АТМОСФЕРНЫХ ЛИВНЕЙ

Для расчета амплитуды акустического сигнала проведена оценка доли энергии ливня в эффективно излучающей области ствола. В основу этой оценки положены экспериментальные данные при $E_0=10^{14}-10^{16}$ эВ на уровне гор, которые экстраполировались к $E_0=10^{18}-10^{20}$ эВ. Было получено, что диаметр эффективно излучающей области составляет 4–6 см, а доля энергии с учетом вклада электронно-фотонной компоненты лежит в пределах (3,6–14)% от E_0 для ШАЛ, инициированных протонами и (1,4–11)% от E_0 для ШАЛ соответствующего стандартному химическому составу (атомный номер $A=10$).

При расчете амплитуды акустического сигнала были использованы результаты работы [1]. Также использовались данные о температуре воды озер Табацкури



Зависимость амплитуды акустического сигнала от энергии ШАЛ. $T_{\text{воды}}=15^{\circ}\text{C}$. Полоса частот сигнала 2–50 кГц. Расстояние до источника 100 м

(1990 м над уровнем моря, площадь 14,2 км²) и Севан (1898 м, 1235 км²), измеренные авторами, и озера Тити-Кака [2]. Для ШАЛ, инициированного протоном с $E_0=10^{19}$ эВ, на расстоянии 100 м от оси ливня амплитуда сигнала составит $P_{\max}=1,7-6,6$ мПа. Для ядра с $A=10$ $P_{\max}=0,7-5,5$ мПа.

При определении пороговых энергий использовались данные о шумах высокогорных водоемов [3] и вышеприведенные оценки акустического сигнала от ствола ШАЛ. Для понижения порога регистрации предлагается использовать следующие два метода.

1. Пространственная фильтрация шумов при помощи разработанного приемника с частотно-независимой в полосе частот 2–50 кГц для диапазона углов $\pm 60^{\circ}$ диаграммой направленности. Измерения в полевых условиях показали, что такой приемник подавляет акустические шумы в 15 раз по мощности.

2. Корреляционное накопление шумов при сопоставлении с образом сигнала, варьируемого по длительности в широких пределах, обеспечивает надежное выделение полезных событий на уровне среднеквадратичного значения шума.

На рисунке представлены кривые, соответствующие максимальному и минимальному значению $P_{\max}(E_0)$ для ШАЛ, инициируемых протонами. Горизонтальные линии соответствуют $\sigma_{\text{шума}}$ в полосе 2–50 кГц, приведенному ко входу гидрофона. Для определения $\sigma_{\text{шума}}$ использовались спектральные плотности шумов при штиле и средней скорости ветра около 3 м/с на озерах Иссык-Куль и Севан. Порог регистрации составляет $(1,1-7,0) \cdot 10^{18}$ эВ.

Акустические антенны будут располагаться в вершинах правильных треугольников со стороной 300–500 м. Для запуска акустической установки предполагается использовать триггерные ячейки на основе сцинтиляторов площадью порядка одного квадратного метра, расположенные на поверхности озера с шагом порядка одного километра. Наличие триггера позволит существенно понизить порог регистрации, а также осуществить привязку к результатам, получаемым на уже существующих установках. По результатам полевых испытаний опытного прототипа антенны с использованием имитатора сигнала от ШАЛ среднеквадратичная ошибка восстановления направления оси ствола для диапазона зенитных углов $0-30^{\circ}$ и азимутальных углов $\pm 60^{\circ}$ составит $\sigma_{\theta}, \sigma_{\phi} < 0,1^{\circ}$. Ошибка восстановления координат ствола ШАЛ составит не более 5 м.

При оценке скорости счета установки, использующей акустический метод регистрации, необходимо учитывать распределение по глубине атмосферы точки первого взаимодействия первичного космического излучения. Предполагалось, что диссилияция энергии происходит по степенному закону, а поперечное расхождение частиц – по линейному. При пороге регистрации $P_{\text{пор}}=7 \cdot 10^{-4}$ Па при среднем значении $P_{\max}(E_0)$ для ШАЛ, инициированных протонами на уровне озера Иссык-Куль скорость счета составит около 20 событий/(год·стэр·км²). Время непрерывной работы установки можно оценить как 4–5 месяцев в году.

Приведенные оценки свидетельствуют о реальной возможности создания установки, использующей акустический метод, начиная с площади 3–5 км², с дальнейшим расширением, что позволит на начальном этапе отработать методику регистрации. Установка площадью 3 км² уже позволит изучать стволы ШАЛ с энергией $E_0 > (1-7) \cdot 10^{18}$ эВ акустическим методом, что является принципиально новой возможностью в исследованиях первичного космического излучения сверхвысоких энергий.

СПИСОК ЛИТЕРАТУРЫ

1. Ascarian G. A., Dolgoshein B. A., Kalinovsky A. N. et al. // Nucl. Inst. and Meth. 1979. V. 164. № 2. P. 267–278.
2. Kaneko T., Incue N., Kakimoto F. et al. // XVIII Int. Cosm. Ray Conf. 1983. V. 11. P. 428–431.